

DSP를 이용한 ZVT-PRT 전류제어형 인버터의 구현

이성룡, 전철환, 김상수

군산대학교 전자정보공학부

Implementation of a ZVT-PRT Current Controlled Inverters using a Digital Signal Processor

S.R. Lee, C.H. Jeon, S.S. Kim

School of Electronic and Information Engineering, Kunsan National University

ABSTRACT

In this paper, a single-phase inverter using a diode bridge-type resonant circuit to implement ZVT(Zero Voltage Transition) switching is presented. The current control algorithm is analyzed about how to design the circuit with auxiliary switch which can ZVT operation for the main power switch. The simulation and experimental results would be shown to verify the proposed current algorithm, because the main power switch is turn on with ZVT and the bi-directional inverter is operated.

1. 서론

산업 사회의 발전은 높은 정밀도를 가지는 전자장비들의 생산을 요구하게 되었으며, 이들 고성능 전자제품들은 정전이나 순시전압강하 등 전원상태가 불량한 경우에 매우 민감한 반응을 보인다. 그러기 때문에 전력계통의 안정 및 고품질화에 대한 요구가 증대되기 시작하였다. 한편 지구환경변화에 대응하기 위하여 여러 가지 대체에너지원을 이용한 전력을 생산하고 있는데, 이러한 대체에너지원과 계통을 연계하여 전력을 효율적으로 사용하기 위한 계통연계시스템에 관한 연구가 활발히 진행되고 있다. 또한, 대체에너지원을 이용한 계통연계시스템은 아직까지 대체에너지 변환효율이 극히 낮기 때문에 인버터의 효율 향상은 전체 시스템의 효율 향상에 필수조건이 된다. 따라서, 계통연계시스템의 효율향상을 위해서 최근 인버터에 소프트-스위칭 기법을 적용하기 위한 연구가 활발히 진행되고 있으며, 계통연계시스템에서 사용하는 인버터는 부하나 계통의 변동에 따라 빠른 응답 및 제어를 요구하기 때문에 계통의 전류를 직접 제어할 수 있는 전류제어형 인버터를 주로 사용하고 있다. 지금까지 제시된 전류제어기법중 대표적인 방법으로는 히스테리시스(Hysteresis) 전류제어방법이 있는데, 이 방법은 단순히 기준 전류의 상한 값과 하한 값을 설정하고 이를 비교하여 추종 전류가 이들 값 사이에 있도록 스위칭 시키는 방법

으로 매우 간단하고 부하조건에 상관없이 강인하고 안정성을 가지고 있기 때문에 널리 이용되고 있다. 그러나 이 방식은 계통과 부하변동에 따라 스위칭 주파수가 아주 민감하게 변동하는 특성을 가지고 있어 스위칭 소자 사용에 한계가 있고, 출력필터 설계의 어려움 등의 단점과 스위칭 시간을 예측할 수 없기 때문에 소프트-스위칭 기법을 적용하기가 매우 어렵다. 이의 해결을 위해 PRT(Polarized Ramptime)전류제어기법이 제안되었다. 이 전류제어기법은 현재의 기울기 정보를 가지고 다음 주기의 스위칭 시퀀스를 결정하는 알고리즘으로 히스테리시스 전류기법의 좋은 특성은 유지하면서 단점인 가변스위칭 주파수 문제를 해결할 수 있으며 다음 스위칭 시간을 예측할 수 있기 때문에 소프트-스위칭 기법을 적용할 수 있는 장점을 가진다.[1],[2]

그러므로 본 논문에서는 계통연계시스템을 고 효율화하기 위해서 필요한 소프트-스위칭 기법의 적용이 가능한 CR-PWM(Current Regulated Pulse Width Modulation) 인버터에 관하여 논의하였으며, 소프트-스위칭이 가능한 전류제어알고리즘에 대하여 이를 PSIM과 Pspice를 이용한 시뮬레이션과 DSP(Digital Signal Processor)를 사용하여 실험하였다.

2. VT-PRT 전류제어 알고리즘

기존의 ZVT 토폴로지들은 공통적으로 주 전력 스위칭 디바이스의 ZVT 조건을 만족하기 위하여 필요한 보조공진 회로 부분에 과도한 컴포넌트를 추가 사용함으로써 원가 상승 및 제어 복잡해지는 단점을 가지고 있다. 따라서 본 논문에서는 스위칭 컴포넌트를 최소화하기 위해서 제안된 다이오드 브릿지-타입 셀을 이용하여 보조 스위치 하나만을 사용하는 다이오드 브릿지-타입 ZVT 인버터를 PRT 전류제어 알고리즘에 적용하고자 한다.[3]

히스테리시스 기법의 일종인 PRT(Polarized Ramp Time) 전류제어 기법은 이전의 전류 에러 시그널을 이용하여 다음 주기의 스위칭 시그널을 결정하는 알고리즘이기 때문에 히스테리시스 전류제어 기법의 문제점인 가변 스위칭 주파수 문제를 해결할 수 있어 ZVT 스위칭 기법 적용이 가능하다.[4]

그림 1은 인덕터에 흐르는 전류 i 와 기준 전류 i^* 와의 오차 신호를 보여주며 T_a 는 i_e 가 0보다 위에 있을 때의 주기를 나타내고 T_b 는 i_e 가 0보다 아래쪽에 있을 때의 주기를 나타낸다. 여기서 0 위의 면적과 아래의 면적이 같다면 즉, T_a 와 T_b 가 같다면 식 1과 같이 스위칭 주파수를 고정시킬 수 있다.

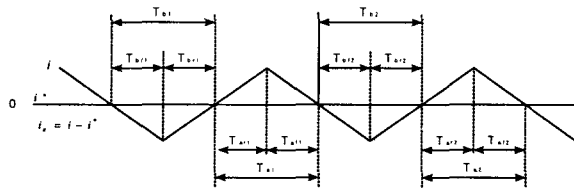


그림 1 전류 에러 시그널

$$T_a^* = T_b^* = \frac{T_{sw}^*}{2} \quad (1)$$

*: 목표값

PRT 기법의 스위칭은 최근의 Zero crossing에서 일어나는 전류 오차 신호에 의하여 결정되며 이를 식 (2)와 (3)으로 표현할 수 있다.

$$T_{br2}^{\#} = \left[\frac{T_{br1}^{\wedge}}{T_{bl}} \right] \left[\frac{T_{sw}^*}{2} \right] \quad (2)$$

$$T_{al2}^{\#} = \left[\frac{T_{af1}^{\wedge}}{T_{al}} \right] \left[\frac{T_{sw}^*}{2} \right] \quad (3)$$

\wedge : 측정된 값 $\#$: 계산에 의한 값

PRT-ZVT 전류제어 알고리즘의 블록선도는 그림 2와 같고, 모드별 동작 파형은 그림 3과 같다.

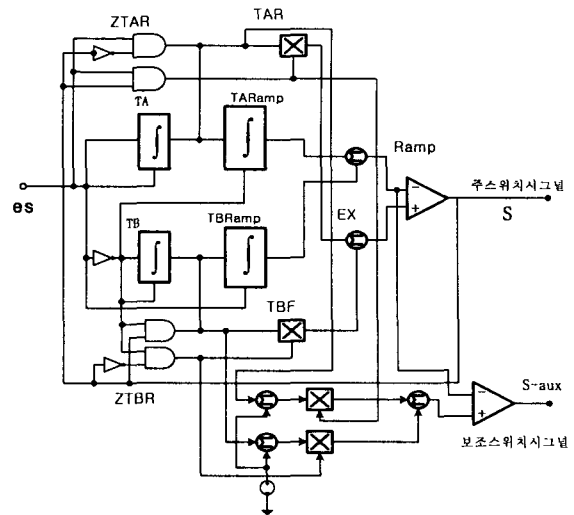


그림 2 PRT-ZVT 전류제어 블록선도

- *TA : T_a 를 측정하기 위해 적분한 값.
- *TB : T_b 를 측정하기 위해 적분한 값.
- *TARamp : T_a 의 기울기를 갖는 ramp를 생성한 값.
- *TBRamp : T_b 의 기울기를 갖는 ramp를 생성한 값.

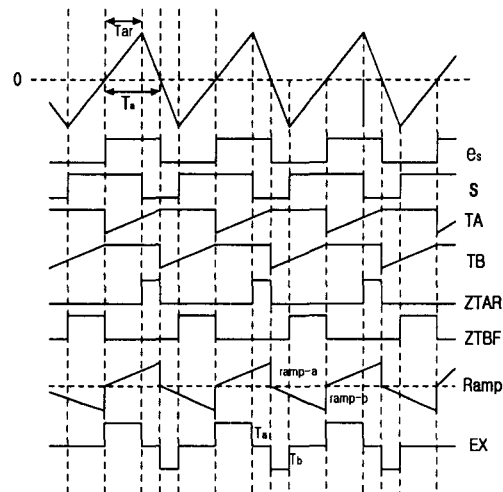


그림 3 PRT 전류제어 동작 파형

그림 3의 위의 파형은 측정된 리플 인덕터 전류와 기준전류를 비교하는 파형이고, e_s 는 비교한 i_e 의 +방향이면 high이고, -방향이면 low를 나타내는 디지털 신호이다. TA와 TB는 e_s 의 +방향과 -방향일 때의 시간을 계산하여 Ramp를 만들어낸다. ZTAR은 TA에서 T_{ar} 을 뺀 나머지 시간을 표현하고, ZTBR은 TB에서 T_{br} 를 뺀 나머지 시간을 나타낸다. 즉 Ramp와 EX를 비교하여 다음 단계의 시그널 S를 결

정하게 된다. 여기서 만들어 진 S로 주전력 스위치를 턴-온 시키지 않고 먼저 보조공진 스위치 S-aux를 턴-온 시킴으로써 제안된 인버터는 ZVT로 스위칭하게 된다.

3. 전 시스템의 구성

본 논문에서 구현한 ZVT-PRT인버터의 전체 시스템의 구성도는 다음과 같다.

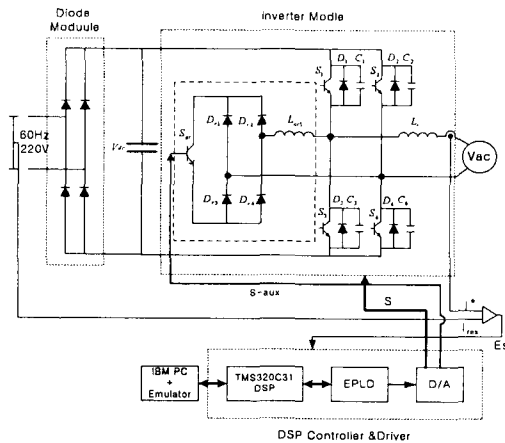


그림 4 ZVT-PRT 인버터 시스템의 전체 구성도

그림 4와 같이 하드웨어부분은 크게 전력변환부, 디지털제어부로 구분된다. 시스템의 기능은 최대한 디지털화 또는 소프트웨어화한다. 이와 같이 함으로써 시스템의 신뢰성이 향상되고 제어 알고리즘에 융통성을 가질 수 있으며, 환경변화에 둔감해지고 외부와의 연결도 우수해진다.

3.1 전력변환부

전력변환부는 마이크로프로세서인 DSP의 지시를 받아 상용전원으로부터 공급되는 교류 전원을 직류로 변환하였다가 계통에 적합한 가변주파수 및 가변전압(또는 가변전류)의 교류전원으로 변환하는 부분으로서 앞에서 제시한 다이오드-브릿지 타입 ZVT인버터이다.

3.2 디지털제어부

마이크로프로세서부는 전체 시스템의 두뇌에 해당하는 부분으로 PRT알고리즘의 연산을 수행하고 연산결과에 따라 인버터에 제어 신호를 출력한다.

본 논문에서는 마이크로프로세서부로 TI사의 저가형 DSP인 TMS320C31 DSP(digital signal Processor)를

사용하였다. TMS320C31은 고성능 32비트 부동소수점 방식의 범용 Programmable DSP로서 40MHz의 동작클럭을 가지고 있다.

인터페이스부는 마이크로프로세서와 전력변환부 사이에 동작지령이나 검출신호 등을 상호 전달하고, 콘트롤러가 외부에 상태를 표시하거나 외부에서 콘트롤러에게 각종 지시를 내릴 수 있는 입출력 기능을 수행하는 부분으로 매우 복잡한 디지털 및 아날로그 회로로 구성된다. 이는 EPLD나 입출력칩인 8255 또는 A/D변환기 및 D/A변환기로 구성되어 있다.[5]

본 논문에서 교육용 DSP보드인 옴사의 TMS-31 키트를 사용하였다. 이 DSP보드에는 인터페이스의 복잡한 회로를 Altera사의 EPLD를 사용하였다. I/O 장치로서 8255를 사용하고 있는데 8255 경우 입출력 제어시 3 μ s 이상의 프로그램 지연이 생기게 되므로 프로그램 지연이 짧은 D/A변환기 출력으로서 처리하였다. 8255는 단지 입력만 받아들인다. 8255의 B포트는 입력으로 쓰이며 0번 비트를 e_s 신호의 입력으로 받아들여지게 된다. S는 단지 출력만을 D/A변환기(AD664)로 출력하며, 입력은 프로그램내부에서 입력으로 받게 된다. 또한 각 내부에서 일어나는 Ramp와 Ex의 동작은 D/A변환기를 통해 확인할 수 있게 하였다. 또한 Ramp함수의 주기적인 증,감소와 프로그램의 입출력을 주기적으로 하기위해 타이머 인터럽트를 사용하였다. 프로그램의 순서도를 그림 5에 나타내었다.

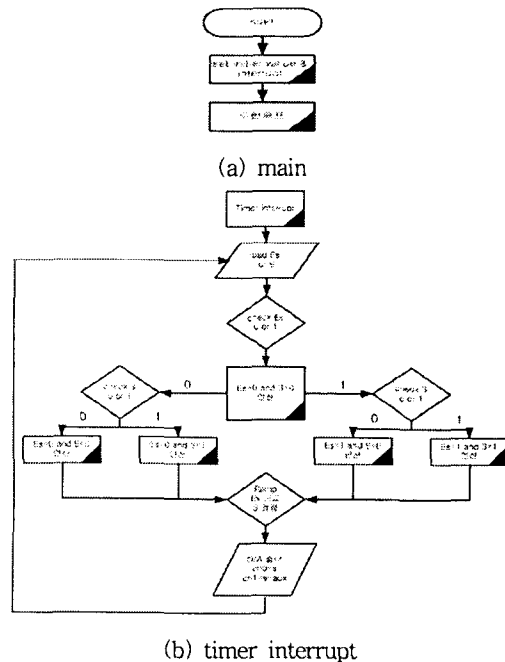


그림 5 ZVT-PRT 인버터의 프로그램 순서도

Main루틴은 DSP내부의 레지스터와 프로그램에서 사용하는 변수들을 초기화한다. 다음 타이머인터럽트루틴에 의해 주기적으로 Es와 S가 입력으로 받는다. Es와 S의 상태에 따라 미리 지정된 함수를 호출 실행하게 된다. Es의 상태에 따라 TA와 TB의 카운터를 써서 시간을 계산하고, 이 카운터는 Es의 상태에 따라 두 개로 나뉘게 되며 하나의 카운터가 증가하면 다른 카운터는 리셋되고, S상태에 따라 다른 변수에 그 값을 지정함으로써 Ex의 크기를 결정하게 된다. 이렇게 측정된 값들은 두 카운터가 만드는 Ramp와 S의 상태에 따라 그 값이 결정되는 Ex와의 비교로서 다음의 S를 결정하게 되고, 이는 AD664를 통해 인버터의 스위칭드라이버에 전달된다. 보조 스위칭은 Ramp값에서 일정한 값을 빼고 Ex와 비교함으로써 주 스위치 S가 on, off 되기전에 보조스위치를 on시킬 수 있다. 또한 보조스위치는 S가 0인 루프에서 다시 리셋함으로써 인버터가 ZVT로 동작할 수 있게 한다.

4. 시뮬레이션 및 실험파형

본 연구에서 제안한 전류제어형 ZVT 인버터의 유용성을 확인하기 위하여 PSPICE, PSIM 등으로 시뮬레이션을 수행하였고 조건은 다음 표 1과 같다.

표 1 시뮬레이션 조건

Parameter	Value	Parameter	Value
V_{an}	220V	f_i^*	60Hz
V_{dc}	380V	L_r	20mH
I_a	15A	L_{ar}	20 μ H
f_{sw}^*	10KHz	C_r	0.015 μ F

그림 6과 그림 7은 ZVT-PRT인버터의 시뮬레이션파형과 인덕터 전류의 주파수 스펙트럼으로 PRT 기법을 사용함으로써 고조파 저감 및 스위칭 주파수가 고정됨을 알 수 있다.

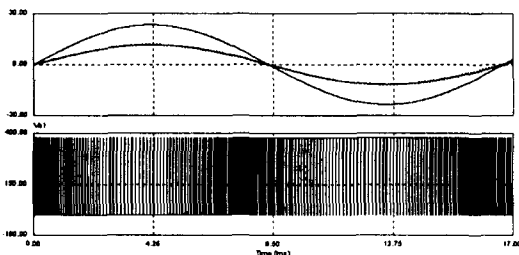


그림 6 시뮬레이션의 전압 및 전류 파형

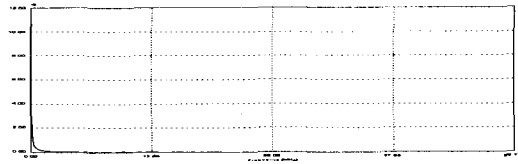


그림 7 전류 스펙트럼

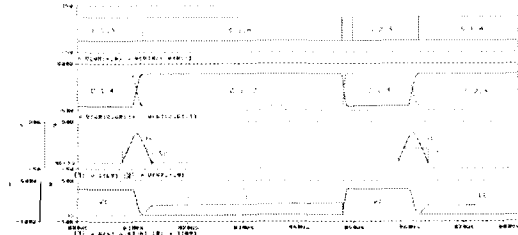


그림 8 인버터의 ZVT 스위칭 동작 파형

그림 8는 인버터의 ZVT 동작 파형으로 위 파형은 주 전력 스위치 S1 및 보조공진 스위치 Sr의 스위칭 신호와 그때 흐르는 공진 인덕터 전류이며, 아래 파형은 S1의 양단간의 전압과 흐르는 전류이다. S1의 양단간의 전압이 "0" 상태에서 ZVT로 스위칭됨을 알 수 있다. 이상과 같이 PRT 전류 제어알고리즘을 적용한 ZVT 인버터를 시뮬레이션을 통하여 스위칭 주파수가 고정됨으로서 ZVT스위칭이 가능함을 알 수 있다.

이상 시뮬레이션을 통하여 확인한 제안된 토폴로지의 유용성을 실제실험을 통하여 입증하기 위하여 확인하기 위하여 ZVT 인버터를 제작하여 실험하였다.

그림 9와 10은 입력교류전압과 인버터의 전류의 그리고 S와 Ramp, Ex의 비교 출력 파형이다.

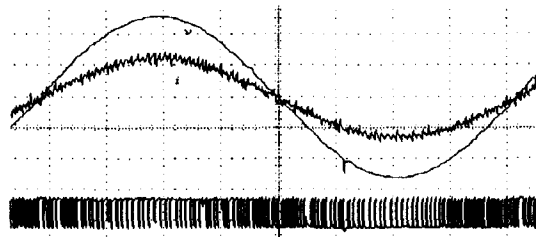


그림 9 인버터의 전압 및 전류 실험 파형

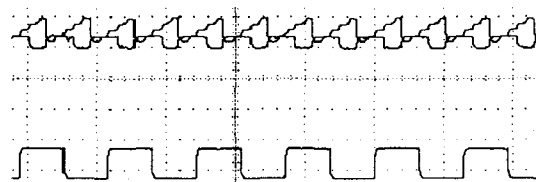


그림 10 Ramp와 Ex의 비교 파형

5. 결 론

본 논문에서는 인버터를 고효율화 하기위한 소프트-스위칭 기법을 적용할 수 있는 PRT알고리즘을 PSIM과 PSpice를 이용한 시뮬레이션과 DSP로 구현하였다. 이 실험을 통하여 다음을 알 수 있었다.

PRT알고리즘으로 구현한 인버터의 스위칭 주기를 예측함으로써 ZVT 조건으로 인버터가 운용되며이는 스위칭 손실의 감소함을 알 수 있었다. 이로써 인버터의 효율을 향상시킬 수 있었다.

또한 시스템의 제어부를 복잡한 아날로그회로를 DSP를 이용한 디지털회로 구현함으로써 신뢰성을 향상시킬 수 있으며 소프트웨어의 설정치를 변경함으로써 시스템의 유연성을 확인할 수 있었다.

이 논문은 군산대학교 BK21 사업단의 연구비 지원에 의하여 연구되었음

참고문헌

- [1] L. J. Borle and C. V. Nayar, "Zero Average Current Error" Controlled Power Flow for AC-DC Power Electronics, Nov 1995.
- [2] D. M. Baker, V. G. Agelidis and C. V. Nayar, "A NEW Zero Average Current Error Control Algorithm for Inverter". Australasian Universities Power Engineering Conference (AUPEC) 1997 with Institution of Engineers Australia Electronic Energy Conference (EECON) 1997, vol. 1, PP67-72.
- [3] 이성룡, 고성훈, 송인석 "유도전동기 구동용 다이오드 브릿지-타입 ZVT인버터" 전력전자학회 논문지 Vol.4 No6, P561-569 1999년 12월.
- [4] 이성룡, 고성훈, 김성우 "ZVT 스위칭되는 새로운 전류제어형 인버터" 전력전자학회 논문지 Vol7 No2 P129-136 2002 4월.